

ホモロジーの計算例

参考：中原幹夫, 理論物理学のためのトポロジー1

復習：典型的なホモロジー群の計算法

やりたいこと n 次単体的複体 K の k 次の鎖群に $C_k(K)$ に対するホモロジー群を求める (k 単体 $\sigma_k \in K$ の個数: I_k)

1. $\psi_k: C_k(K) \rightarrow V(\mathbb{Z}^{I_k})$ s.t. $\sum_{i=1}^{I_k} c_i \sigma_k \rightarrow (c_1 \ \cdots \ c_{I_k})^T \Rightarrow \partial_k$ を行列表示: $\psi_{k-1} \circ \partial_k \circ \psi_k^{-1}$

$$2. \text{ スミス標準化(規格化なしの特異値分解)} \partial_k = U_{I_{k-1} \times I_{k-1}} \left(\begin{array}{ccc|ccc} t_1 & 0 & \cdots & 0 & \cdots & 0 \\ 0 & \ddots & 0 & \vdots & \ddots & \vdots \\ \vdots & 0 & t_r & 0 & \cdots & 0 \\ \hline 0 & \cdots & 0 & 0 & \cdots & 0 \\ \vdots & \ddots & \vdots & \vdots & \ddots & \vdots \\ 0 & \cdots & 0 & 0 & \cdots & 0 \end{array} \right) (V_{I_k \times I_k})^{-1}$$

($r_k = \text{rank } \partial_k, t_r$: 境界輪体のねじれ係数)

3. U の $1 \sim r_k$ 列目: $u_1^{k-1}, \dots, u_{r_k}^{k-1}$ が $B_{k-1}(K)$ の基底ベクトル

4. V の $r_k + 1 \sim I_k$ 列目: $v_{r_k+1}^k, \dots, v_{I_k}^k$ が $Z_k(K)$ の基底ベクトル

5. $v_{r_k+1}^k, \dots, v_{I_k}^k$ のうち $u_1^k, \dots, u_{r_{k+1}}^k$ で表せないものを $h_1^k, \dots, h_{I_k - r_k - r_{k+1}}^k$ (元の鎖群の表示に戻した) とすると、
 $b_k = I_k - r_k - r_{k+1}$ として

$$H_k(K) = Z_k(K)/B_k(K) = \left\{ \left[c_1 h_1^k + \cdots + c_{b_k} h_{b_k}^k \right] \middle| c_1 \in \mathbb{Z}_{t_{1'}}, \dots, c_{b_k} \in \mathbb{Z}_{t_{b'_k}} \right\} \simeq \bigoplus_{i=1}^{b_k} \mathbb{Z}_{t_{i'}}$$

補足：ホモロジー群の計算の注意

$v_{r_k+1}^k, \dots, v_{l_k}^k$ には $u_1^{k-1}, \dots, u_{r_k}^{k-1}$ と直交しなくても、 $h_1^k, \dots, h_{l_k-r_k-r_{k+1}}^k$ の基底となる場合がある
基本的に $v_i^k \perp u_1^{k-1}, \dots, u_{r_k}^{k-1}$ を探す $\Rightarrow c_i \in \mathbb{Z}$

$v_i^k \parallel u_j^k$ でも、 v_i^k の要素が $-t_i, 0, t_i$ 、 u_j^k の要素が $-t'_j, 0, t'_j$ 、のとき、

$$r = \text{mod} \left(\frac{\text{lcm}(t_i, t'_j)}{t_i} \right) \text{ として}$$

$$cv_i^k \begin{cases} \in B_k(K), & c \equiv 0 \pmod{r} \\ \notin B_k(K), & c \not\equiv 0 \pmod{r} \end{cases}$$

$$\Rightarrow c_i \in \mathbb{Z}_r$$

例えば、 $v_i^k = (1 \ 0)^T, u_j^k = (1 \ 0)^T, t_i = 2, t'_j = 3$ のとき、

$$\begin{aligned} \begin{pmatrix} 2 \\ 0 \end{pmatrix} &\notin \left\{ c \begin{pmatrix} 3 \\ 0 \end{pmatrix} \mid c \in \mathbb{Z} \right\} \\ 3 * \begin{pmatrix} 2 \\ 0 \end{pmatrix} &\in \left\{ c \begin{pmatrix} 3 \\ 0 \end{pmatrix} \mid c \in \mathbb{Z} \right\} \end{aligned}$$

ホモロジー群の計算コード

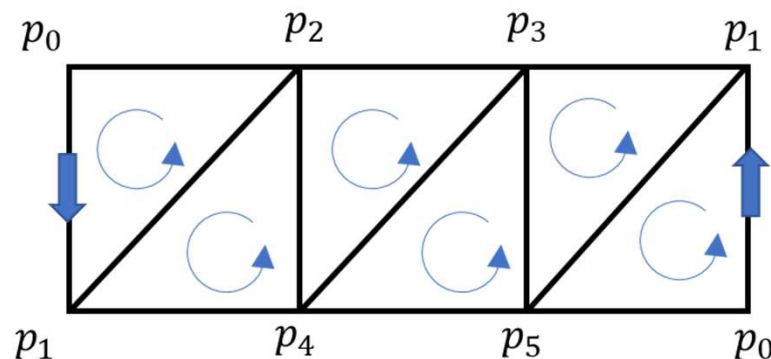
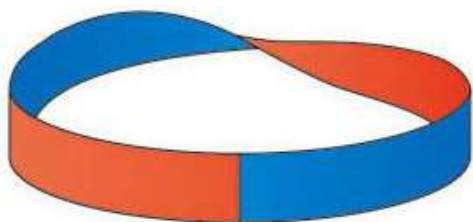
hy_homology.zip にホモロジー群の基底を求めるパッケージを置いたので、良かったら遊んでみてください
(test_homology.ipynbにいくつか例があります)

```
from (HomologyGroup.pyの場所)/HomologyGroup import calc_HomologyGroupList
K = [[0],[1],...,[0,1],...] #単体的複体(リスト)、各鎖群の基底ベクトルはここに格納された順番
H = calc_HomologyGroupList(K)
```

=>H[i]に $H_i(K)$ の基底ベクトル(横ベクトル)とそのねじれ率が行列として格納されている：

$$\begin{pmatrix} (h_1^i)^T \\ \vdots \\ (h_{b_i}^i)^T \end{pmatrix}, [t_1 \quad \cdots \quad t_{b_i}]$$

例10：メビウスの輪



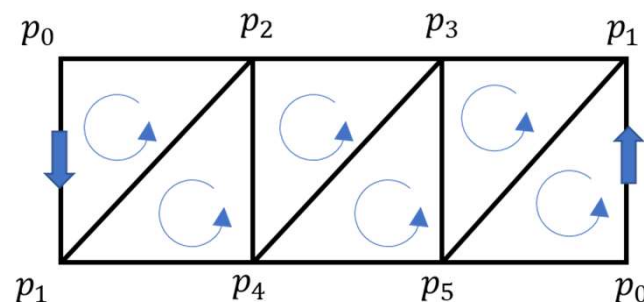
$$K = \{p_0, \dots, p_5, (p_0p_1), \dots, (p_4p_5), (p_0p_1p_2), \dots, (p_5p_0p_1)\}$$

$$C_2(K) \text{ の基底 : } (p_0p_1p_2), (p_2p_1p_4), (p_2p_4p_3), (p_3p_4p_5), (p_3p_5p_1), (p_5p_0p_1)$$

$$C_1(K) \text{ の基底 : } (p_0p_1), (p_0p_2), (p_0p_5), (p_1p_2), (p_1p_3), (p_1p_4), (p_1p_5), (p_2p_3), (p_2p_4), (p_3p_4), (p_3p_5), (p_4p_5)$$

$$C_0(K) \text{ の基底 : } p_0, \dots, p_5$$

例10：メビウスの輪



$$\partial_2 = \begin{pmatrix} 1 & -1 & 0 & 1 & 0 & 0 & 0 & 0 & 0 & 0 & 0 & 0 \\ 0 & 0 & 0 & -1 & 0 & 1 & 0 & 0 & -1 & 0 & 0 & 0 \\ 0 & 0 & 0 & 0 & 0 & 0 & 0 & -1 & 1 & -1 & 0 & 0 \\ 0 & 0 & 0 & 0 & 0 & 0 & 0 & 0 & 0 & 1 & -1 & 1 \\ 0 & 0 & 0 & 0 & 1 & 0 & -1 & 0 & 0 & 0 & 1 & 0 \\ 1 & 0 & -1 & 0 & 0 & 0 & 1 & 0 & 0 & 0 & 0 & 0 \end{pmatrix}^T \rightarrow \text{フルランク : rank } \partial_2 = 6$$

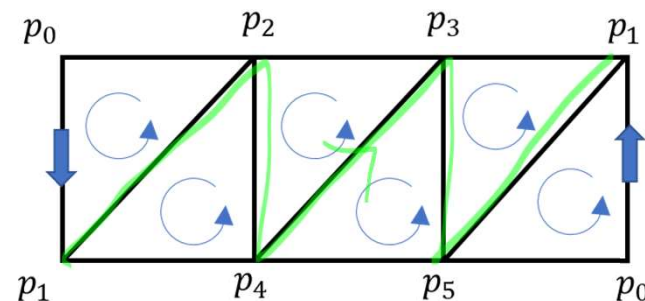
$$\partial_1 = \begin{pmatrix} 1 & 1 & 1 & 0 & 0 & 0 & 0 & 0 & 0 & 0 & 0 & 0 \\ -1 & 0 & 0 & 1 & 1 & 1 & 1 & 0 & 0 & 0 & 0 & 0 \\ 0 & -1 & 0 & -1 & 0 & 0 & 0 & 1 & 1 & 0 & 0 & 0 \\ 0 & 0 & 0 & 0 & -1 & 0 & 0 & -1 & 0 & 1 & 1 & 0 \\ 0 & 0 & 0 & 0 & 0 & -1 & 0 & 0 & -1 & -1 & 0 & 1 \\ 0 & 0 & -1 & 0 & 0 & 0 & -1 & 0 & 0 & 0 & -1 & -1 \end{pmatrix} \rightarrow \text{rank } \partial_1 = 5$$

* Pythonのnumpy.linalg.matrix_rank()で計算

$$b_2 = 6 - 6 - 0 = 0, b_1 = 12 - 5 - 6 = 1, b_0 = 6 - 0 - 5 = 1$$

$$\Rightarrow H_2(K) = 0, H_1(K) \simeq \mathbb{Z}, H_0(K) \simeq \mathbb{Z}$$

例10：メビウスの輪



$\partial_2 = \begin{pmatrix} (u_1^1)^T \\ \vdots \\ (u_{12}^1)^T \end{pmatrix} : p_{i_1} \rightarrow p_{i_2} \rightarrow \cdots \rightarrow p_{i_n} \rightarrow p_{i_1}$ という順に点を動く線分の集合(円

周)

$Z_1(K)$ の基底：

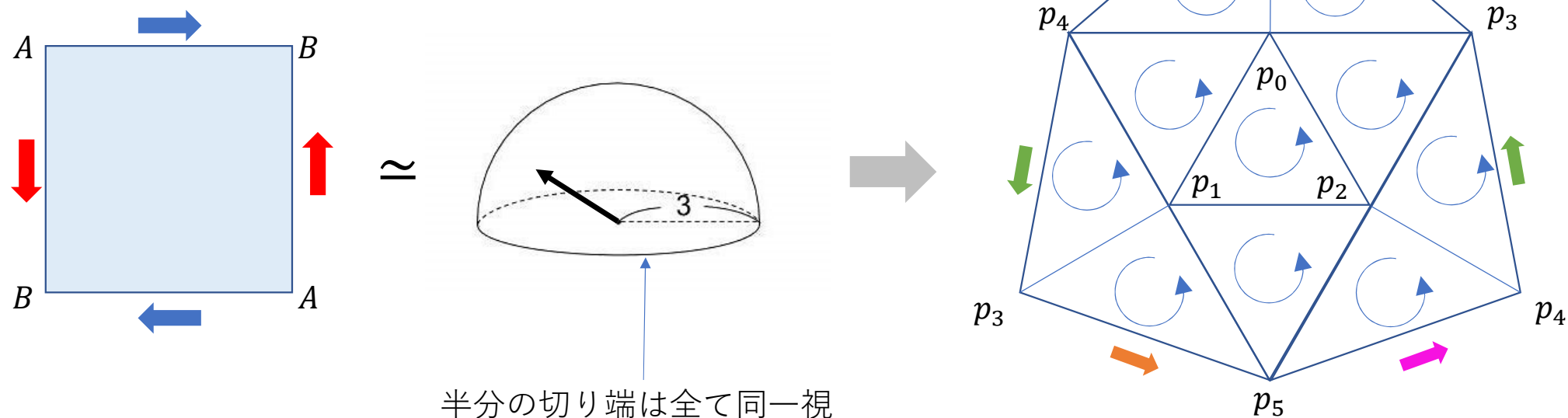
[1,	0,	0,	0,	0,	0,	0]
[-1,	1,	0,	0,	0,	0,	0]
[0,	-1,	0,	0,	0,	0,	0]
[1,	-1,	1,	0,	0,	0,	0]
[0,	0,	-1,	1,	0,	0,	0]
[0,	0,	0,	-1,	1,	0,	0]
[0,	1,	0,	0,	-1,	0,	0]
[0,	0,	1,	-1,	1,	1,	0]
[0,	0,	0,	1,	-1,	-1,	0]
[0,	0,	0,	0,	0,	1,	1]
[0,	0,	0,	0,	1,	0,	-1]
[0,	0,	0,	0,	0,	0,	1]

$B_1(K)$ の基底：

[1.,	0.,	0.,	0.,	0.,	0.]
[-1.,	1.,	0.,	0.,	0.,	0.]
[0.,	-1.,	0.,	0.,	0.,	0.]
[1.,	-1.,	1.,	0.,	0.,	0.]
[0.,	0.,	0.,	1.,	0.,	0.]
[0.,	0.,	-1.,	0.,	0.,	0.]
[0.,	1.,	0.,	-1.,	0.,	0.]
[0.,	0.,	0.,	0.,	1.,	0.]
[0.,	0.,	1.,	0.,	-1.,	0.]
[0.,	0.,	0.,	0.,	1.,	1.]
[0.,	0.,	0.,	-1.,	0.,	-1.]
[0.,	0.,	0.,	0.,	0.,	1.]

$$H_1(K) = \{c[(p_1p_4) + (p_4p_2) + (p_2p_3) + (p_3p_5) + (p_5p_1)] | c \in \mathbb{Z}\} \simeq \mathbb{Z}$$

例11：実射影空間



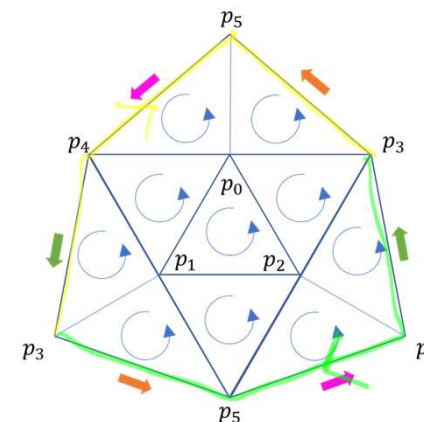
$K = p_0, p_1, p_2, p_3, p_4, p_5,$
 $(p_0p_1), (p_0p_2), (p_0p_3), (p_0p_4), (p_0p_5), (p_1p_2), (p_1p_3), (p_1p_4), (p_1p_5), (p_2p_3), (p_2p_4), (p_2p_5), (p_3p_4), (p_3p_5), (p_4p_5),$
 $(p_0p_1p_2), (p_0p_2p_3), (p_0p_3p_5), (p_0p_4p_1), (p_0p_5p_4), (p_1p_3p_5), (p_1p_4p_3), (p_1p_5p_2), (p_2p_4p_3), (p_2p_5p_4)$

任意の2点を結ぶ線分が1単体に存在するから K は連結

例11：実射影空間

Pythonで計算：

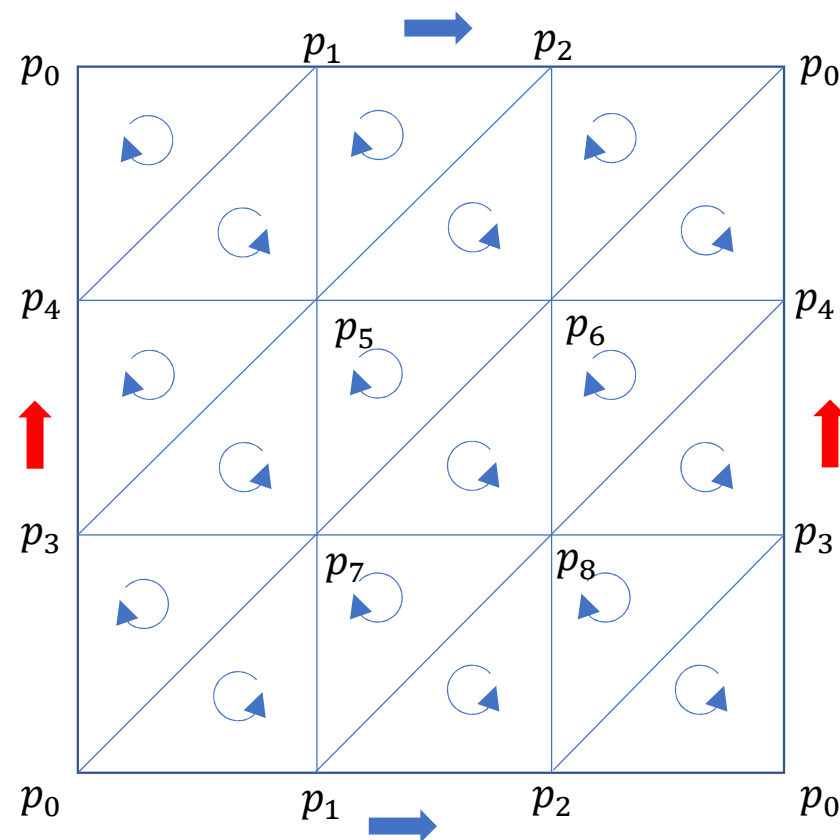
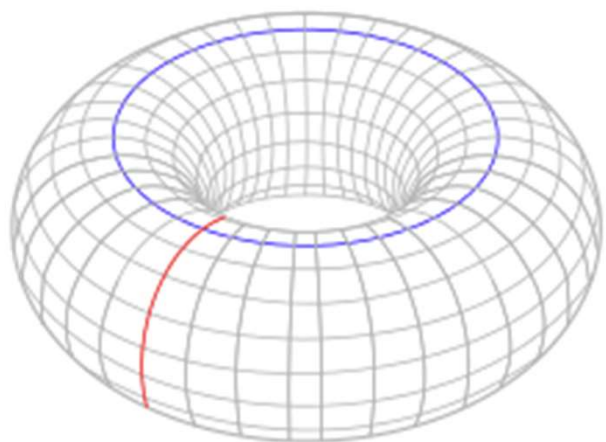
```
H0 = [[0 0 0 0 0 0 1]]
tor=[1]
H1 = [[ 0  0  0  0  0  0  0  0  0  0  0  0  0  0  1 -1  1]]
tor=[2]
H2 = []
tor=[]
```



- $H_0(K) = \{c[p_5] | c \in \mathbb{Z}\} \simeq \mathbb{Z}$: K が連結であるのと整合
- $H_1(K) = \{c[(p_3p_4) + (p_4p_5) + (p_5p_3)] | c \in \{0,1\}\} \simeq \mathbb{Z}_2$
- $H_2(K) = 0$

$H_1(K)$ は捻じれ群になっている(周期2)

例12：トーラス



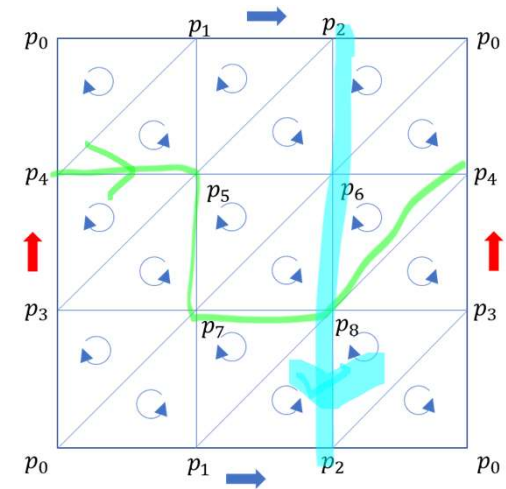
```
K9 = [[0],[1],[2],[3],[4],[5],[6],[7],[8],¥
[0,1],[0,2],[0,3],[0,4],[0,6],[0,7],[1,2],[1,4],[1,5],[1,7],[1,8],¥
[2,3],[2,5],[2,6],[2,8],[3,4],[3,5],[3,7],[3,8],¥
[4,5],[4,6],[4,8],[5,6],[5,7],[6,7],[6,8],[7,8],¥
[0,1,4],[1,4,5],[1,2,5],[2,5,6],[0,6,2],[0,6,4],¥
[3,4,5],[3,7,5],[5,6,7],[6,7,8],[4,8,6],[3,4,8],¥
[0,3,7],[0,1,7],[1,7,8],[1,2,8],[2,8,3],[0,3,2]]
```

例12：トーラス

```

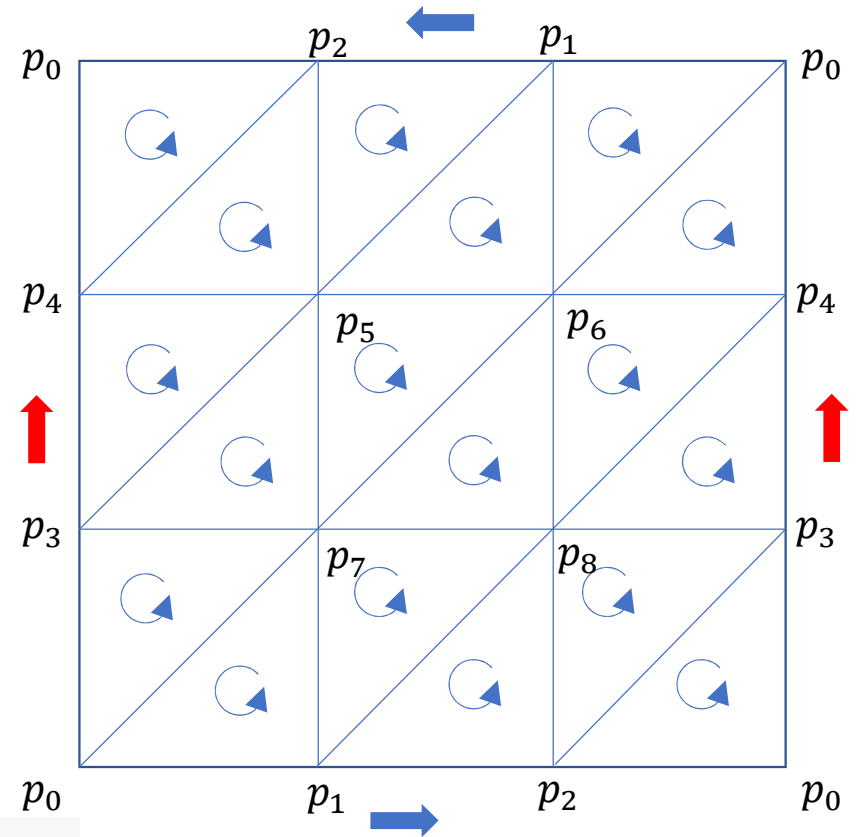
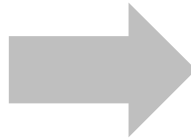
H0 = [[0 0 0 0 0 0 0 0 0 1]]
tor=[1]
H1 = [[ 0  0  0  0  0  0  0  0  0  0  0  0  0  0  0 -1  1  0  0  0  0  0  0  0  0  0
        0 -1  0]
       [ 0  0  0  0  0  0  0  0  0  0  0  0  0  0  0  0  0  0  0  0  1  0 -1  0  1
        0  0  1]]
tor=[1, 1]
H2 = [[-1  1 -1  1 -1  1 -1  1 -1  1 -1  1 -1  1 -1  1]]
tor=[1]

```



- $H_0(K) = \{c[p_8] | c \in \mathbb{Z}\} \simeq \mathbb{Z}$
- $H_1(K) = \{c_1[(p_2p_8) - (p_3p_4) + (p_6p_8)] + c_2[(p_4p_6) - (p_5p_6) + (p_6p_7) + (p_7p_8)] | c_1, c_2 \in \mathbb{Z}\} \simeq \mathbb{Z} \oplus \mathbb{Z}$
- $H_2(K) = \left\{ c \left[\sum_{i=1}^{18} (-1)^i \sigma_i^{(2)} \right] \middle| c \in \mathbb{Z} \right\} \simeq \mathbb{Z}$

例13：クラインの壺



Klein bottle

```
K10 = [[0],[1],[2],[3],[4],[5],[6],[7],[8],¥
[0,1],[0,2],[0,3],[0,4],[0,6],[0,7],[1,2],[1,5],[1,6],[1,7],[1,8],¥
[2,3],[2,4],[2,5],[2,8],[3,4],[3,5],[3,7],[3,8],¥
[4,5],[4,6],[4,8],[5,6],[5,7],[6,7],[6,8],[7,8],¥
[0,4,2],[2,4,5],[1,2,5],[1,5,6],[0,1,6],[0,6,4],¥
[3,5,4],[3,7,5],[5,7,6],[6,7,8],[4,6,8],[3,4,8],¥
[0,7,3],[0,1,7],[1,8,7],[1,2,8],[2,3,8],[0,3,2]]
```

例13：クラインの壺

$$H_0 = \begin{bmatrix} 0 & 0 & 0 & 0 & 0 & 0 & 0 & 0 & 1 \end{bmatrix}$$

```
tor=[1]
```

$$H1 = \begin{bmatrix} 0 & 0 & 0 & 0 & 0 & 0 & 0 & 0 & 0 & 0 & 0 & 0 & 0 & 1 & -1 & 0 & 0 & 0 & 0 & 0 & 0 & 0 & 1 \end{bmatrix}$$
$$\begin{bmatrix} 0 & 0 & 1 \end{bmatrix}$$
[illegible]

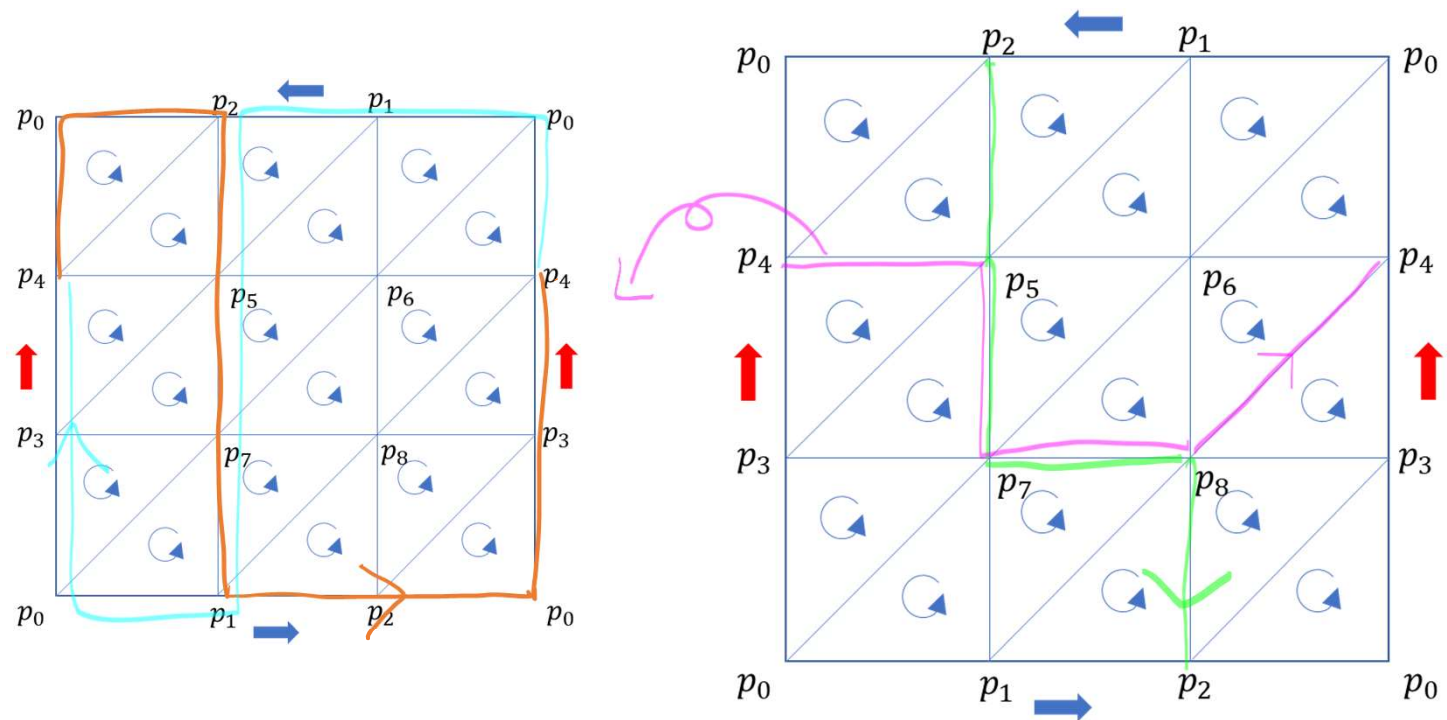
0 0 1]]

```
tor=[1, 2]
```

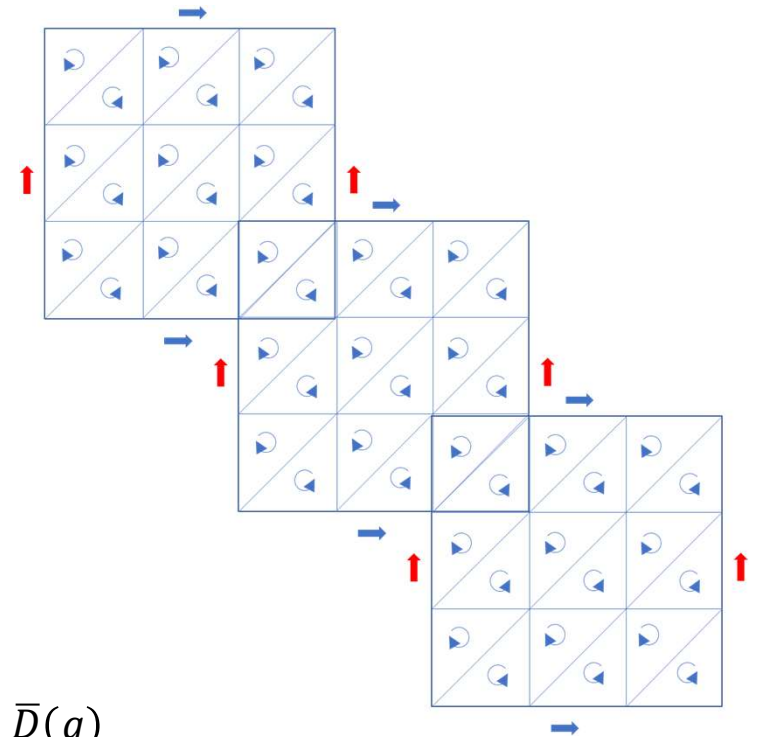
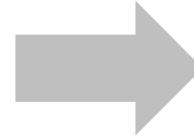
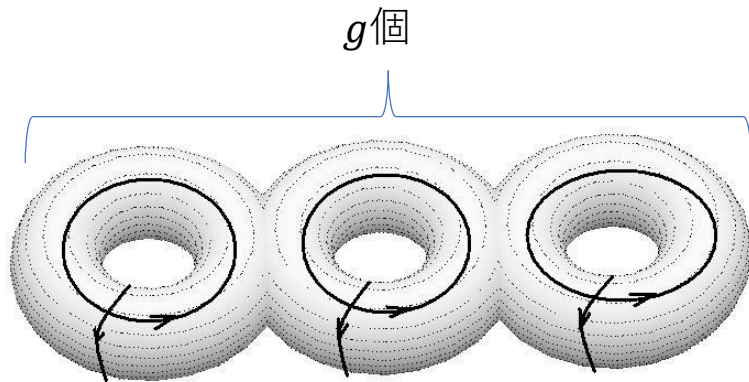
$$H_2 = []$$

```
tor=[]
```

- $H_0(K) \simeq \mathbb{Z}$
- $H_1(K) \simeq \mathbb{Z}_2 \oplus \mathbb{Z}$
- $H_2(K) = 0$



例12.1：複数穴の開いたトーラス



- 閉曲面全体：境界なし $\Rightarrow \in Z_2(K) \Rightarrow H_2(K) \simeq \mathbb{Z}$
- 各トーラスのホモロジー群の基底 $\{a_i, b_i\} \Rightarrow H_1(K) = \bigoplus^{2g} \mathbb{Z}$
- 連結 $\Rightarrow H_0(K) \simeq \mathbb{Z}$

$\{a_i, b_i\}$ ：曲線の標準形

Cf) 種数 g の向き付け不可能な閉曲面 $\bar{D}(g)$

$$H_2(K) = 0$$

$$H_1(K) = \bigoplus^{g-1} \mathbb{Z} \oplus \mathbb{Z}_2$$

$$H_0(K) \simeq \mathbb{Z}$$

例えば $\bar{D}(1)$ = 実射影空間、 $\bar{D}(2)$ = クラインの壺

補足：マイヤー・ヴィートリウス完全系列

Def(鎖準同型)：

鎖群上の加群準同型 $f: C_r(K) = \bigoplus_i \mathbb{Z}\sigma_i \rightarrow C'_s(K) = \bigoplus_i \mathbb{Z}\sigma'_i$ で以下を満たすもの

1. $f(\mathbb{Z}\sigma_i) = \mathbb{Z}\sigma'_i$
2. $f\partial_r = \partial'_s f$

=> 鎖準同型 f を用いて、ホモロジー群の準同型

$$\begin{array}{ccc} f_*: H_p(K) & \rightarrow & H_q(K') \\ \cup & & \cup \\ & [\sigma] \rightarrow [f(\sigma)] & \end{array}$$

を構成できる

補足：マイヤー・ヴィートルス完全系列

Def(完全系列)：

加群 G_n 、加群準同型 $f_n: G_n \rightarrow G_{n-1}$ の系列 $\cdots \rightarrow G_{n+1} \xrightarrow{f_{n+1}} G_n \xrightarrow{f_n} G_{n-1} \rightarrow \cdots$ が $\text{Im } f_{n+1} = \text{Ker } f_n$ を満たす

例えば鎖群は完全系列

鎖群 $C' \subset C$ に対して $0 \rightarrow C' \xrightarrow{i} C \xrightarrow{j} C/C' \rightarrow 0$ ($i: c \in C' \rightarrow c \in C$ 、 $j: c \rightarrow [c]$) は完全系列

定理(マイヤー・ヴィートルス完全系列)：

複体 K_1, K_2 、 $K_1 \cap K_2$ は $K_1 \cup K_2$ の部分複体

\Rightarrow 完全系列

$\cdots \rightarrow H_{q+1}(K_1 \cup K_2) \xrightarrow{\Delta_{q+1}} H_q(K_1 \cap K_2) \xrightarrow{i_1 \oplus i_2} H_q(K_1) \oplus H_q(K_2) \xrightarrow{i'_1(*) - i'_2(*)} H_q(K_1 \cup K_2) \xrightarrow{\Delta_q} H_{q-1}(K_1 \cap K_2) \rightarrow \cdots$
が存在する。

系： $K_1 \cap K_2$ が連結 $\Rightarrow H_q(K_1 \cup K_2) \simeq (H_q(K_1) \oplus H_q(K_2)) / \text{Im}(i_1 \oplus i_2)$

例：トーラス

A, B ：円筒に同相

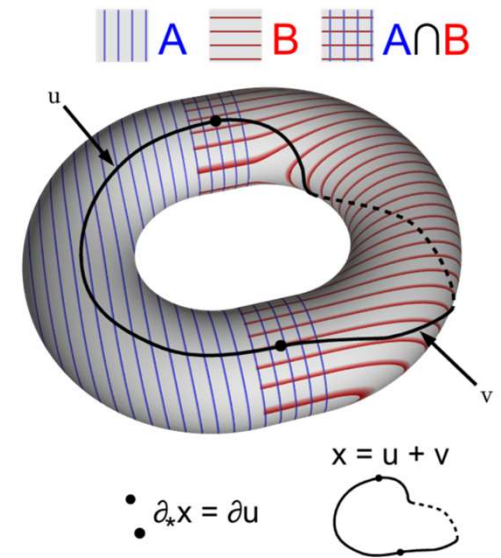
$$H_r(A) \simeq H_r(B) \simeq H_r(\text{円柱}) \simeq \begin{cases} \mathbb{Z}, & r = 0, 1 \\ 0, & r \geq 2 \end{cases}$$

$$H_r(A \cap B) \simeq H_r(2\text{つの別の円柱}) \simeq \begin{cases} \mathbb{Z} \oplus \mathbb{Z}, & r = 0, 1 \\ 0, & r \geq 2 \end{cases}$$

$\Rightarrow A, B$ の境界： $A \cap B$ に含まれる

マイヤー・ヴィートルス完全系列：

$$\begin{array}{ccccccc} 0 & \xrightarrow{i_2} & H_2(A \cup B) & \xrightarrow{\partial_*} & H_1(A \cap B) & \xrightarrow{i_A \oplus i_B|_1} & H_1(A) \oplus H_1(B) \xrightarrow{i'_A(*) - i'_B(*)|_1} H_1(A \cup B) \\ & & \searrow \partial_* & & \searrow i_A \oplus i_B|_0 & & \searrow i'_A(*) - i'_B(*)|_0 \\ & & & & H_0(A \cap B) & \xrightarrow{i_A \oplus i_B|_0} & H_0(A) \oplus H_0(B) \xrightarrow{i'_A(*) - i'_B(*)|_0} H_0(A \cup B) \xrightarrow{\partial_*^0} 0 \end{array}$$



例：トーラス

準同型定理とMV系列の性質から

$$H_2(A \cup B)/\text{Ker } \partial_* \simeq \text{Im } \partial_* \simeq \text{Ker } i_A \oplus i_B \Big|_1$$

$$H_2(A \cup B)/\text{Ker } \partial_* = H_2(A \cup B)/\text{Im } i_2 = H_2(A \cup B)/0 \simeq H_2(A \cup B)$$

$H_1(A), H_1(B) \simeq \mathbb{Z}$ よりこれらは1次元だから

$([\sigma_A], 0), (0, [\sigma_B]) \in H_1(A) \oplus H_1(B)$ について

$$i_A \oplus i_B \Big|_1 (([\sigma_A], 0)) = ([\sigma_A], [\sigma_A])$$

$$i_A \oplus i_B \Big|_1 ((0, [\sigma_B])) = ([\sigma_B], [\sigma_B])$$

$$\Rightarrow i_A \oplus i_B \Big|_1 = \begin{pmatrix} 1 & 1 \\ 1 & 1 \end{pmatrix} \Rightarrow \text{Ker } i_A \oplus i_B \Big|_1 = \text{Ker } \begin{pmatrix} 1 & 1 \\ 1 & 1 \end{pmatrix} = \mathbb{Z} \begin{pmatrix} 1 \\ -1 \end{pmatrix}$$

$$H_2(T^2) = H_2(A \cup B) \simeq \mathbb{Z}$$

例：トーラス

準同型定理とMV系列の性質から

$$H_1(A) \oplus H_1(B) / \text{Ker} \left(i'_A(*) - i'_B(*) \Big|_1 \right) \simeq \text{Im} \left(i'_A(*) - i'_B(*) \Big|_1 \right)$$

$\text{Ker}(i'_A(*) - i'_B(*)|_1) = \text{Im } \partial_*^1 = 0$ (2つの円周のホモロジー群は1次元で独立だから、それぞれの0元をとるしかない)

よって $i'_A(*) - i'_B(*)|_1$ は全射で $\text{Im}(i'_A(*) - i'_B(*)|_1) = H_1(A \cup B) = H_1(T^2)$

$$H_1(T^2) \simeq H_1(A) \oplus H_1(B) \simeq \mathbb{Z} \oplus \mathbb{Z}$$

連結だから $H_0(T^2) \simeq \mathbb{Z}$

例：n穴トーラス

$P \cap Q$ ：周期的境界が全くない四角形 $\Rightarrow H_*(P \cap Q) = 0$

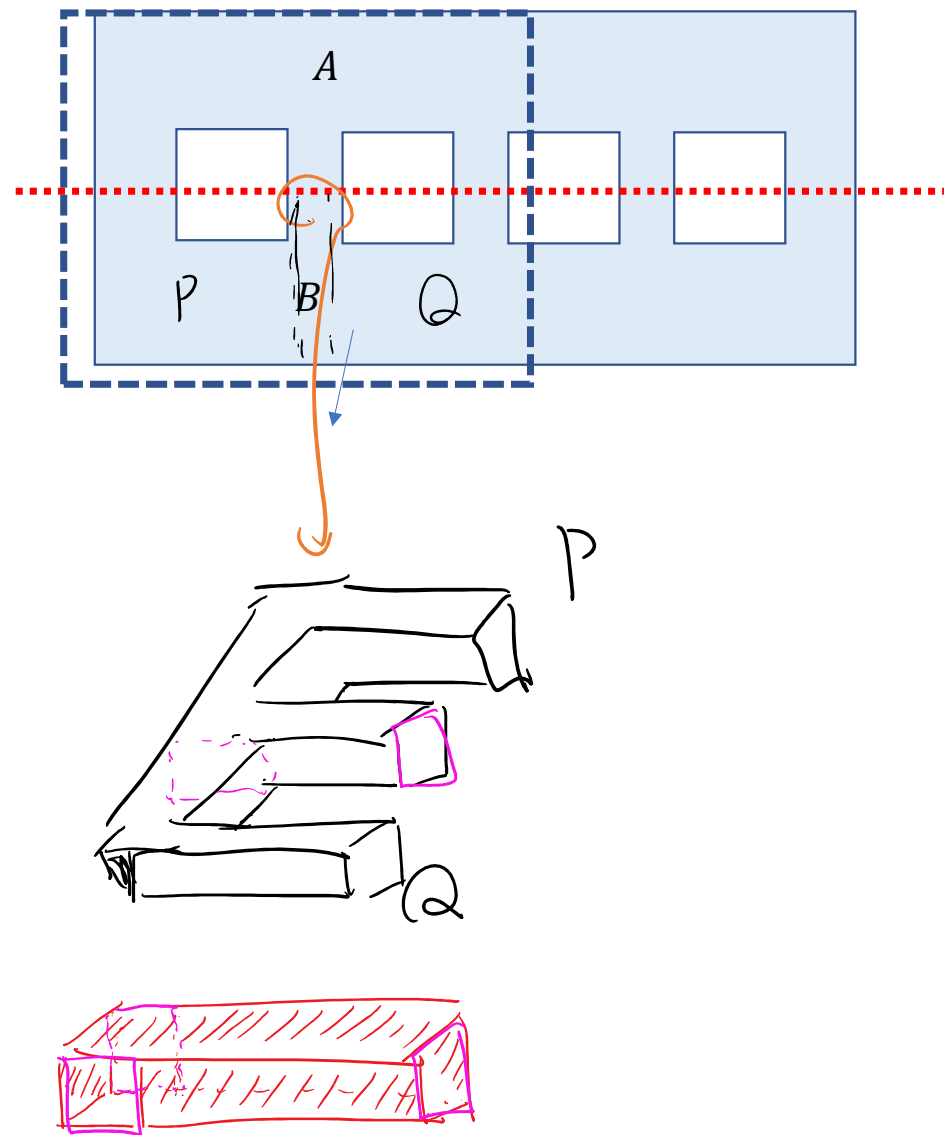
$P \cap Q$ は連結

$$\Rightarrow H_r(P \cup Q) \simeq H_r(P) \oplus H_r(Q) \simeq \begin{cases} \mathbb{Z} \oplus \mathbb{Z}, & r = 0, 1 \\ 0, & r \geq 2 \end{cases}$$

$$\Rightarrow H_r(A) \simeq H_r(B) \simeq \begin{cases} \oplus^n \mathbb{Z}, & r = 0, 1 \\ 0, & r \geq 2 \end{cases}$$

$$H_r(A \cap B) \simeq H_r(n + 1 \text{個の別の円柱}) \simeq \begin{cases} \oplus^{n+1} \mathbb{Z}, & r = 0, 1 \\ 0, & r \geq 2 \end{cases}$$

$$H_1(T^{2n}) \simeq H_1(A) \oplus H_1(B) \simeq \oplus^{2n} \mathbb{Z}$$



例：n穴トーラス

トーラスのときと同様にして

$$H_2(A \cup B) \simeq \text{Ker } i_A \oplus i_B \Big|_1$$

$([\sigma_A^i], 0), (0, [\sigma_B^j]) \in H_1(A) \oplus H_1(B)$ について

$$i_A \oplus i_B \Big|_1 \left(([\sigma_A^i], 0) \right) = ([\sigma_A^i], [\sigma_A^i])$$

$$i_A \oplus i_B \Big|_1 \left((0, [\sigma_B^j]) \right) = ([\sigma_B^j], [\sigma_B^j])$$

$$i_A \oplus i_B \Big|_1 = \begin{pmatrix} 1 & \cdots & 1 \\ 1 & \cdots & 1 \end{pmatrix} \Rightarrow \text{Ker } i_A \oplus i_B \Big|_1 = \mathbb{Z} \begin{pmatrix} 1 \\ -1 \\ \vdots \\ 1 \\ -1 \end{pmatrix} \quad \leq \text{間違っているかも?}$$

よって $H_2(T^{2n}) \simeq \mathbb{Z}$

連結なので $H_0(T^{2n}) \simeq \mathbb{Z}$